# 食品衛生基準科学研究費補助金(食品安全科学研究事業) 既存添加物の品質確保に資する分析法開発のための研究

#### (23KA1012)

#### 令和6年度研究分担報告書

分析法及び試験法の開発に関する研究

~真菌基原の添加物酵素の基原種同定法の開発及び基原種に関する分類学的情報の収集~

研究分担者 渡辺麻衣子 国立医薬品食品衛生研究所 衛生微生物部 第三室長

研究要旨 食品添加物のうち微生物を基原とする酵素について、電気泳動法と MALDI-TOF MS によるペプチドマスフィンガープリンティング(PMF)を組み合わせた基原同定法の開発を実施 した. これまでに検討した構成成分の少ない添加物酵素製品については基原の情報を得ること ができたが、一部の製品については製造者が公表している基原種と解析結果が一致せず、ま た、基原種の情報が全く得られなかった製品も存在した。その理由として、分析手法による問 題のほか、検索に用いるデータベースの配列登録情報の不足、及び微生物学名の変更に伴うシ ノニム情報の不足もあると考えられた. 今年度は分析法の改良として, 二次元電気泳動法を用 いたタンパク質の分解能の改善による同定精度の向上を試みた. 計 4 種の添加物酵素を二次元 電気泳動法により解析した結果, Niallia circulans 由来のβ-ガラクトシダーゼと Aspergillus niger 由来のヘミセルラーゼについては、通常の SDS-PAGE による解析で同定不能であったタンパク 質が同定された、また、等電点の情報も二次元電気泳動法による解析により得られることか ら、同定結果の正確性を向上させることができた。しかし、タンパク質同定のカバー率は通常 の SDS-PAGE とほぼ同等で、Mascot サーチでヒットする生物種を限定するには至らなかった. 以上の結果より、二次元電気泳動法による解析はタンパク質の同定率を向上させるために有用 であることが明らかとなったが、基原同定の精度を高めるためには他の手法を組み合わせる必 要があると考えられた、さらに、既存添加物酵素の基原としての使用頻度が高い真菌である Trichoderma 属菌を例として、データベースにおける微生物学名の情報量の不足や読み取りにお ける問題を解消するためには、 基原微生物の学名について、 国際整合を考慮した生物種の最新 の分類情報を常に収集し、データベースや酵素製品の付帯情報での登録情報を継続して更新す る必要があることを示した.

## 研究協力者

吉成知也 国立医薬品食品衛生研究所

衛生微生物部

杉本直樹 国立医薬品食品衛生研究所

食品添加物部

西﨑雄三 国立医薬品食品衛生研究所

食品添加物部

增本直子 国立医薬品食品衛生研究所

生薬部

中西早苗 国立医薬品食品衛生研究所

衛生微生物部

船江元子 国立医薬品食品衛生研究所

衛生微生物部

清水公徳 東京理科大学

先進工学部

伊藤紫野 東京理科大学

先進工学部

#### A. 研究目的

既存添加物酵素は、微生物を基原とするものが多く、基原として用いられる微生物種は細菌、真菌、放線菌など多分類にわたり、菌種も多様である. 既存添加物酵素の定義には、基原が一つの微生物種に規定されていない.

微生物の中には二次代謝産物としてヒトへ危 害性を有する物質を産生するものがあること から、基原菌種の同定は重要である. その一 方で, 既存添加物の流通製品を分析すると, 基原菌種の同定が難しい品目が多いことが知 られている. 微生物由来基原の品目の同定法 として、タンパク質アミノ配列を指標とした 分子生物学的手法を応用した試験法の開発が 望まれる. 本研究では、これまで質量分析器 を用いたペプチドマスフィンガープリンティ ング(PMF)法に着目し、基原種同定法を検討し てきた. これまでにアミラーゼ, ガラクトシ ダーゼ,セルラーゼ,ヘミセルラーゼ及びプ ロテアーゼの複数製品を対象に、SDS-PAGE と PMF を組み合わせた方法によりそれぞれの基 原種の同定を試み,構成成分の少ない添加物 酵素成分については、基原の情報を得ること ができ、一定の成果を上げた 1). さらに、より 多くの製品の基原種を正確に同定するために, 独自に構築したデータベースを用いた Mascot サーチを実施した、その結果、オンラインで 実施した場合には同定できなかったタンパク 質を同定することに成功した. 加えて複数種 の消化酵素を用いる改良を分析法に加えたと ころ、1種の酵素(トリプシン)を用いた場合に は同定できなったタンパク質を同定すること が可能となった. これらの2通りの改良法は、 基原同定の精度を高めることに有用であるこ とが明らかとなったが、その効果は一部の添 加物酵素に限られていた.

そこで、より多くの製品の基原種を正確に同定するために、昨年度はデータベースの改良や消化酵素を伴う解析法の検討を実施した。今年度は、二次元電気泳動法を用いてタンパク質の分離能を上げることにより、タンパク質同定の精度が向上するかを検討した。なお、以降は分子量の違いのみで分離を行う通常の電気泳動法を SDS-PAGE と称する.

また,これまでの検討結果から,より良い 分析手法によって基原微生物の同定指標にお ける特徴を効果的に認識できたとしても,同 定するにあたりその指標の特徴を照合するデ ータベースにおける菌種名の読み取りに問題 があった場合,正しく同定することができないことや,微生物の分類情報は新種の記載や 再編が頻繁になされていることから,基原微 生物の学名について,国際整合を考慮した生 物種の最新の分類情報を常に収集しておく必 要があるという問題点を把握していた.そこ で,今年度は,昨年度に引き続き,基原真菌 種の最新の分類情報を把握することを目的と して,既存添加物酵素の基原として使用され る頻度の高い真菌種の分類学的情報を収集し た.

#### B. 研究方法

B-1) MALDI-TOF MS による予測アミノ酸配列 を指標とした基原同定

#### B-1-1) 分析機器

質量分析には、MALDI-TOF MS(Spiral TOF-plus JMS-S3000;日本電子株式会社)を使用した.

## B-1-2) 試料

既存添加物試料は、日本食品添加物協会から分与された製品を用いた。 $\beta$ -ガラクトシダーゼは DFA No. B572、 $\sim$ ミセルラーゼは B651 及び B653、 $\beta$ -アミラーゼは B659 を用いた.

#### B-1-3) 質量分析用検体の調製

各試料は、タンパク質含有量に応じて 5~ 100 mg/mL の濃度となるよう精製水に溶解した. それぞれ等量の 2×laemmli sample buffer(Bio-Rad 社)と混合後, SDS-PAGE に供した. ゲルか らバンドを切り出し、約1 mm 立方に細かく切 り刻み, 1.5 mL容のマイクロチューブに入れた. チューブに脱色液(50%アセトニトリルを含む 25 mM 重炭酸アンモニウム水溶液) 150 μL を加 え, 10 分間振盪(1,000 rpm)後, 溶液を除去した. 同じ操作をもう1回繰り返した.アセトニトリ ル 100 μL を加え, 10 分間インキュベートした. アセトニトリルを除去後,減圧容器を用いて 乾燥させた. 還元用バッファー(10 mM DTT を 含む 25 mM 重炭酸アンモニウム水溶液) 100 µL を加え, 56°C で 45 分振盪(1000 rpm)した. 溶 液を除去後,アルキル化用バッファー(55 mM ヨードアセトアミドを含む 25 mM 重炭酸アン

モニウム水溶液) 100 μL を加え, 暗所下で 30 分 間振盪(1000 rpm)した. 溶液を除去後, チュー ブに脱色液(50%アセトニトリルを含む 25 mM 重炭酸アンモニウム水溶液) 150 μL を加え, 10 分間振盪(1000 rpm)後,溶液を除去した.同じ 操作をもう 1回繰り返した. アセトニトリル 100 μL を加え, 10 分間インキュベートした. アセトニトリルを除去後,減圧容器を用いて 乾燥させた. トリプシン(Trypsin Sequencing Grade, modified; Roche Diagnostics 社)10 µg/mL を 含む 50 mM 重炭酸アンモニウム水溶液 20 μL を 加え,37°C 一晩インキュベートした.0.1%ト リフロオロ酢酸(TFA)を含む 50%アセトニトリ ル水溶液 100 μL 加え, 15 分間インキュベート 後に上清を回収した. 同様の操作を合計3回行 い,全ての上清をまとめて,窒素気流で 20 μL 程度まで濃縮した. 0.1%TFA を含む 50%アセ トニトリル水溶液, 続いて 0.1%トリフロオロ 酢酸水溶液で平衡化した ZipTip 0.2 μL-C18(ミ リポア社)に酵素消化産物を吸着させ, 0.1%TFA 水溶液で洗浄後, 0.1%TFA と 10 mg/mL のマトリクス(4-クロロ-α-シアノケイ皮 酸;シグマアルドリッチ社)を含む 50%アセト ニトリル水溶液で MALDI-TOF MS のサンプル プレート上に直接溶出した. 完全に乾燥させ た後, MALDI-TOF MS を用いてスパイラルモ ードでマススペクトルを測定した.

等電点電気泳動は、以下の様に実施した. 各試料をタンパク質含有量が 1.5 mg/mL の濃度 となるよう標準細胞溶解バッファーに溶解し た.

#### 標準細胞溶解バッファーの組成

Tris(1 M 溶液) 3.0 mL チオウレア 15.2 g ウレア 42 g CHAPS 4.0 g

以上の試薬を精製水に溶解し、希塩酸によって pH を 8.5 に調製後、100 mL にメスアップした.

タンパク質溶液  $62.5 \, \mu L$  (7 cm の DryStrip 使用時)又は  $125 \, \mu L$  (13 cm の DryStrip 使用時)に等量の  $2\times$  サンプルバッファーを加え、氷上で 10 分間インキュベートした. ストリップホルダー

に添加後, Immobiline DryStrip pH 3-10 NL (Cytiva 社) を上から置き, カバー液を添加した後, Ettan IPGphor II を用いて 1 次元目の等電点電気泳動を行った.

2×サンプルバッファーの組成 ウレア 10.5 g チオウレア 3.8 g CHAPS 1 g

以上の試薬を精製水で  $25 \, \text{mL}$  にメスアップした.  $2 \times$  サンプルバッファーは使用直前に DTTを  $2 \, \text{mg/ml}$ , Pharmalyte broad range pH 3- $10 \, \text{Cytiva}$ )を 1%となるよう添加した.

一次元電気泳動後の Immobiline Drystrip を SDS 平衡化バッファーA 2 mL に浸し,室温で 穏やかに 15 分間振盪した. バッファーを捨て, SDS 平衡化バッファーB 2 mL に浸し,再び 15 分間振盪した. 平衡化終了後の Drystrip を電気 泳動バッファーでリンスした後,10% アクリルアミドゲルの上部に乗せ,0.5% アガロース 溶液で封入した. SDS-PAGE は上述の方法で実施した.

SDS 平衡化バッファーA/B

Tris(1.5 M pH 8.8) 20 mL

ウレア 72 g グリセロール 69 mL SDS 4 g

以上の試薬を精製水で 200 mL にメスアップした. 使用直前にバッファーA は DTT を 5 mg/mL, バッファーB はヨードアセトアミドを 45 mg/mL となるよう加えた.

# B-1-4) ペプチドの質量を指標としたタンパク 質の同定

マススペクトルから得られたペプチドの質量を指標としたタンパク質の同定は、Matrix Science のウェブ上のプログラム Peptide Mass Fingerprint search, または昨年度構築した Mascot データベースを用いて行った。主要なペプチドの質量を入力し、検索条件は以下のように設定した; Database: SwissProt,

Enzyme:  $\[ \] \] \mathcal{J} \mathcal{D} \mathcal{D}$ , Allow up to : 1, Fixed modification: Carbamydomethyl(C), Peptide tol  $\pm$ : 15 ppm, Mass values: MH<sup>+</sup>.

#### B-2) 真菌基原種に関する分類学的情報の収集

添加物酵素の基原としての使用頻度が高く,かつ分類体系の再構築に伴う菌名の変更の歴史が複雑でありシノニムが多数存在することが知られる *Trichoderma* 属菌について, PubMedから分類体系に関する論文を検索し,入手した<sup>2-4)</sup>.

## C. 結果及び考察

# C-1) 二次元電気泳動法を用いた添加物酵素の 基原の解析

Triyticum aestivum(パンコムギ)由来の $\beta$ -アミラーゼ(B659)の SDS-PAGE像と二次元電気泳動像を図 1A と 1B に示す.SDS-PAGE像においては,55 kDa 付近に単一のバンド a が認められ,PMF 法による解析の結果,Hordeum vulgare(大麦)の $\beta$ -アミラーゼと同定された(表 1A).二次元電気泳動像においては,55 kDa・pI 6 付近に4つのスポット I,II,III 及び IV が認められ,PMF 法による解析の結果,いずれも H. vulgareの $\beta$ -アミラーゼと同定された(表 1B).

Niallia circulans 由来のβ-ガラクトシダーゼ (B572)の SDS-PAGE 像と二次元電気泳動像を図 2A と 2B に示す. SDS-PAGE 像においては, 180, 140 及び 80 kDa 付近に 3 つのバンド a, b 及びcが認められ、PMF法による解析の結果、 いずれもN. circulans 由来のβ-ガラクトシダーゼ と同定された(表 2A). 二次元電気泳動像にお いては,多数のブロードなスポットが認めら れた. 180 kDa・pI 5 付近のスポット I, 140 kDa・pI 5付近のスポット II 及び 80 kDa・pI 6 付近のスポット III は、いずれも N. circulans 由 来のβ-ガラクトシダーゼと同定された. 50 kDa・pI 4付近のスポット V は, グルタミン酸 セミアルデヒドデヒドロゲナーゼと同定され た. スポット IV と VI は同定されなかった(表 2B).

*Aspergillus niger* 由来のへミセルラーゼ(B651) の SDS-PAGE 像と二次元電気泳動像を図 3A と

3B に示す. SDS-PAGE 像においては, 20~70 kDa の間に多数のバンドが認められた. そのう ち, 切り出しが可能であった 5 種を PMF 法で 解析した結果、28kDa付近のバンドdは複数の Aspergillus 属由来のエンドグルカナーゼ,22 kDa 付近のバンド e は複数の Aspergillus 属由来 のキシラナーゼと同定された. バンド a, b 及 び c は同定されなかった(表 3A). 二次元電気泳 動像においては、7種の主要なスポットが認め られた. 50 kDa・pI 4 付近のスポット II は, 5 種の Aspergillus 属由来の α-アミラーゼ, 34 kDa・pI 6 付近のスポット V は, 6 種の Aspergillus 属由来のβ-キシラナーゼ, 20 kDa・ pI 5付近のスポット VI は, 3種の Aspergillus 属 のキシラナーゼ, 30 kDa・pI 4付近のスポット VII は, 2 種の Aspergillus 属の多糖分解酵素と 同定された.スポット I, III と IV は同定され なかった(表 3B).

Trichoderma longibrachiatum 由来のへミセル ラーゼ(B653)の SDS-PAGE 像と二次元電気泳動 像を図4Aと4Bに示す. SDS-PAGE像において は, 20~120 kDa の間に多数のバンドが認めら れた. そのうち, 切り出しが可能であった6種 を PMF 法で解析した結果, 120 kDa 付近のバン ドaは4種の Trichoderma 属由来のキシラン 1,4β-キシロシダーゼ, 80 kDa 付近のバンド c は 2 種の Trichoderma 属由来のエキソグルカナーゼ, 30 kDa 付近のバンド e は 2 種の Trichoderma 属 由来のβ-キシラナーゼ, 20 kDa 付近のバンド f は 5 種の Trichoderma 属由来のβ-キシラナーゼ と同定された. バンドbとdは同定されなかっ た(表 4A). 二次元電気泳動像においては,20 ~80 kDa の間に多数のスポットが認められた. そのうち、9種の主要なスポットをPMF法で解 析した結果, 80 kDa・pI 5 付近のスポット I は 複数の Trichoderma 属由来のキシログルカナー ゼ, 60 kDa・pI 4 付近のスポット II は 3 種の Trichoderma 属由来のエキソグルカナーゼ,30 kDa・pI 8 付近のスポット VIII は 2 種の Trichoderma 由来のβ-キシラナーゼと同定され た. スポット III~VII は同定されなかった(表 4B).

本年度は、計4種の添加物酵素を対象に二次

元電気泳動法による解析を実施した. B659 は, SDS-PAGE 像ではシングルバンドとして検出さ れたが、二次元電気泳動像では複数のスポッ トとして検出された. ただ, いずれも同じタ ンパク質であったことから,何らかの修飾の 有無の違いによるものと考えられる. それぞ れのスポットを分離して解析を行ったが、検 索時のペプチドの決定アミノ酸配列のデータ ベース登録配列に対するカバー率は SDS-PAGE でバンドを切り出して解析した結果とほぼ同 様であった. このようなタンパク質数の少な い酵素では, 二次元電気泳動法の長所は活か せないと考えらえる. B572 は, 二次元電気泳 動像において横に伸びたスポットとなった. B659 と同様に何らかの修飾による影響と考え られる.スポットの同定結果はSDS-PAGEのバ ンドを切り出した時と同様であったが、検索 時の配列カバー率はわずかに低下した. ただ, SDS-PAGE による解析ではバンドとして切り出 しが困難であったタンパク質1種が、二次元電 気泳動法による解析では同定できた. B651 と B653 においては、SDS-PAGE 像では多数のバ ンドが認められ、切り出しが困難であったが、 二次元電気泳動像ではスポットに分離され, 解析が容易となった. その結果, B651 におい ては同定できたタンパク質数が増加した. た だ, B653 においては同定できたタンパク質数 は 1 種減少した. 二次元電気泳動法は, SDS-PAGE に比べてアプライ可能なタンパク質量が 少ない. そのため、解析に十分なシグナルが 質量分析による解析で得られなかったことが 原因と推定される.

以上の結果より、二次元電気泳動法で添加物 試料を解析することにより、タンパク質数の 多い試料においてSDS-PAGEでは同定不可能で あったタンパク質が同定可能となること、 pI(等電点)の情報も得られることから同定の精 度が上がる利点があることが明らかとなった. しかし、データベースサーチ時の配列カバー 率はSDS-PAGEによる解析時とほとんど変わら ず、複数の菌種由来のタンパク質がデータベ ースサーチの結果ヒットするという問題点の 解決には至らなかった. 今後はデータベース サーチ時の決定配列カバー率を上げるために、イオン化に用いるマトリクスの種類や組成を検討し、検出可能なペプチド種を増やす試みを行う.二次元電気泳動法は操作が複雑で泳動像が得られるまでに時間がかかる、多検体を同時に処理できない等といった欠点もあることから、SDS-PAGEでは十分な解析結果が得られない試料のみに用いることが適切と考えらえる.

## C-2) 真菌基原種に関する分類学的情報の収集

既存添加物名簿収載品目リストから Trichoderma 属を基原にもつ既存添加物 10 品目 とその基原菌種を抽出したところ、7菌種が記 載されていた. これらのゲノムにおける特定 の遺伝子アミノ酸配列における異種間での配 列一致率を確認したところ, 近縁菌種間では 最高で 99.5%が一致することが判明した(図 5). 一例として、キシラナーゼ、キチナーゼ、キ トサナーゼ, β-グルコシダーゼ及びセルラーゼ の基原として記載される T. reesei では、その近 縁菌種 T. parareesei と平均で 99.5%一致した <sup>2,3)</sup>. このことから,アミノ酸配列を指標として, 基原菌種をその近縁種と区別して識別するた めには、0.5%程度の差違を認識できる精度で 分析する必要があることが示唆された. 加え て Trichoderma 属はその有性世代は Hypocrea 属 である4ことから、塩基配列やアミノ酸配列を 決定し公共データベースで検索した際には *Hypocrea* spp.としてヒットする場合が有り,こ のことに注意が必要である. この問題を解決 する方法の1つとして、登録配列の菌種に関す るアノテーションを精査し,独自に構築した カスタムデータベースを使用しての Mascot サ ーチを行うことが有効であると考えられた. さらに、データベースの整備とともに、酵素 製品の付帯情報についても, 最新の真菌分類 学的情報を元に整理する必要があると言える.

#### D. 結論

電気泳動法と MALDI-TOF MS を組み合わせ た添加物酵素の基原の解析法について,より 多くの製品の基原種を正確に同定するために, 昨年度に引き続き改良を行った.タンパク質の分解能を向上させるために、二次元電気泳動法を用いて添加物酵素を解析した結果、一部の試料においてSDS-PAGEによる解析結果と比較して同定可能なタンパク質数が増え、本手法はタンパク質の同定率を向上させるた。今後、基原同定の精度をさられた.今後、基原同定の精度をさられた.今後、手法の更なる改良や他の手法との組み合わせが、基原同定る改良や他の手法との組み合わせが、基原同定のならに高めるためには、手法の更なる改良や他の手法との組み合わせが、要であると考えられた. をだけに留まらず、同定の際の検索に用いるデータベース登録情報の菌種に関するアーションや、酵素製品の付帯情報について、真菌分類学的情報を元に、継続して整理し使用する必要があると考えられた.

E. 参考文献

- T. Yoshinari, A. Sekine, N. Kobayashi, Y. Nishizaki, N. Sugimoto, Y. Hara-Kudo, M. Watanabe. Determination of the biological origin of enzyme preparation by SDS-PAGE and peptide mass fingerprinting. Food Addit. Contam. A. 2023;40(6):711-722.
- 2) C. P. Kubicek et al. Evolution and comparative genomics of the most common *Trichoderma* species. BMC Genomics. 20:485 (2019)
- 3) F. Cai, I. and S. Druzhinina. In honor of John Bissett: authoritative guidelines on molecular identification of *Trichoderma*. Fungal Divers. 107:1–69 (2021).
- 4) G. J. Samuels. Trichoderma: systematics, the sexual state, and ecology. Phytopathology 96:195–206 (2006)

#### F. 研究業績

#### F-1) 学会発表

#### F-1-1) 学会等

1) 伊藤紫野,渡辺麻衣子,西原秀典,橋本一浩,川上裕司,小林直樹,後藤慶一,水谷治,清水公徳,伴さやか,矢口貴志,工藤由起子,大西貴弘:発酵食品由来の黒麹菌

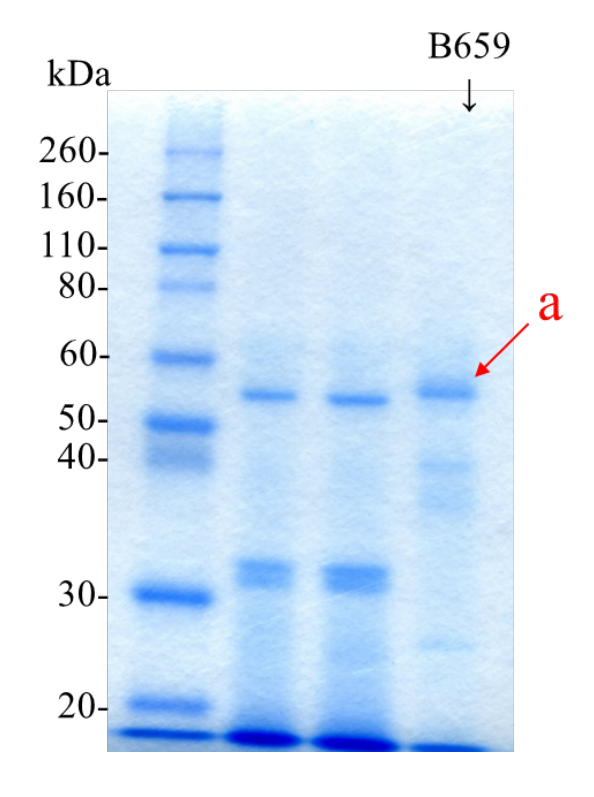
Aspergillus luchuensis の遺伝子指標を用いた 分類学的検討. 第 45 回日本食品微生物学 会学術総会(2024.9).

#### F-1-2) シンポジウム等

無し

#### F-2) 論文発表

無し



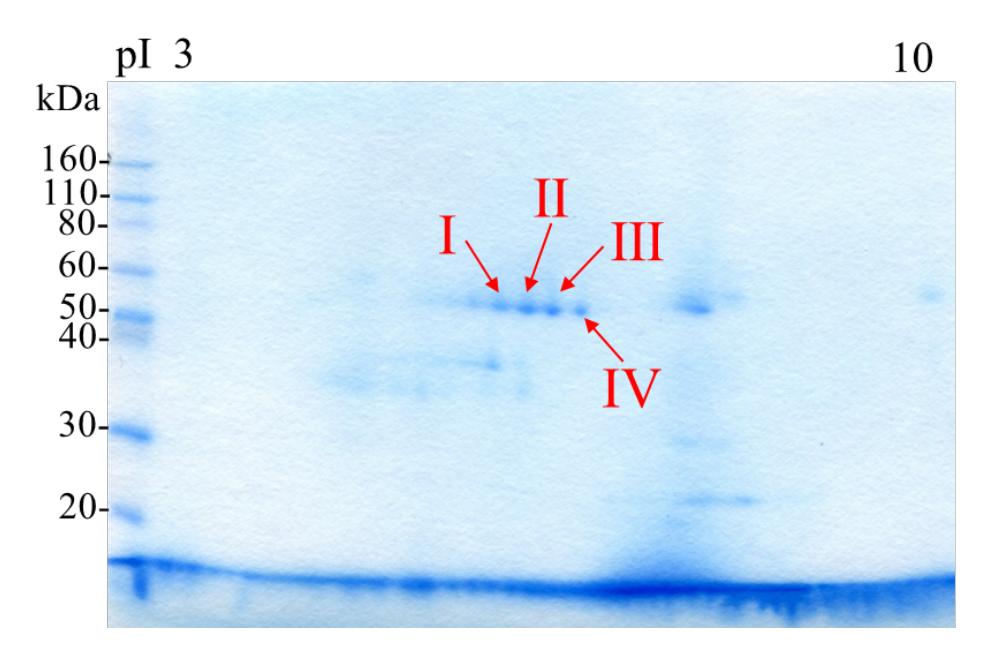
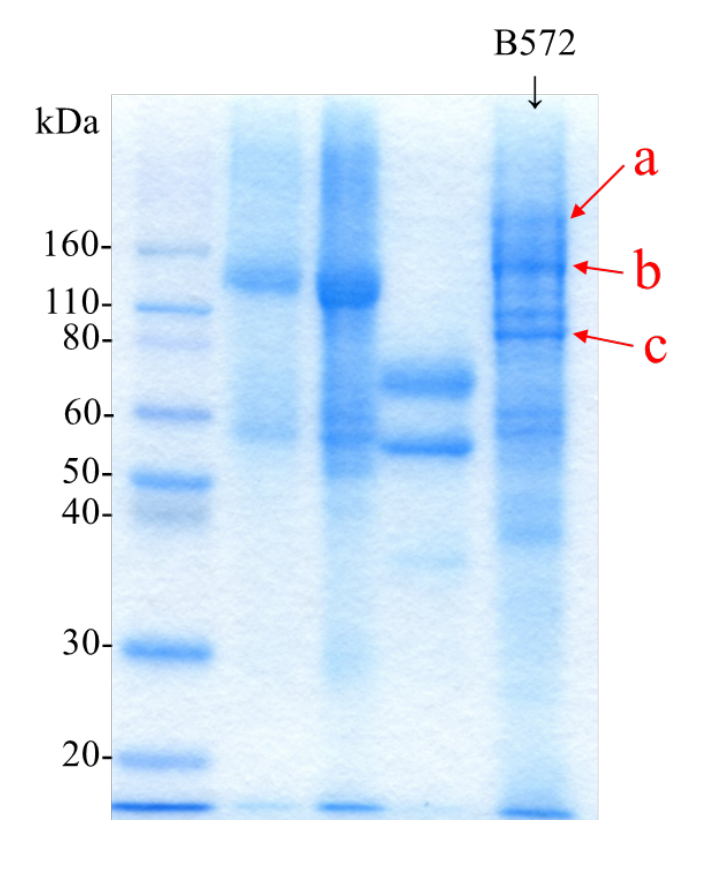


図 1. Triyticum aestivum 由来のβ-アミラーゼ(B659)の (A)SDS-PAGE 及び(B)二次元電気泳動像



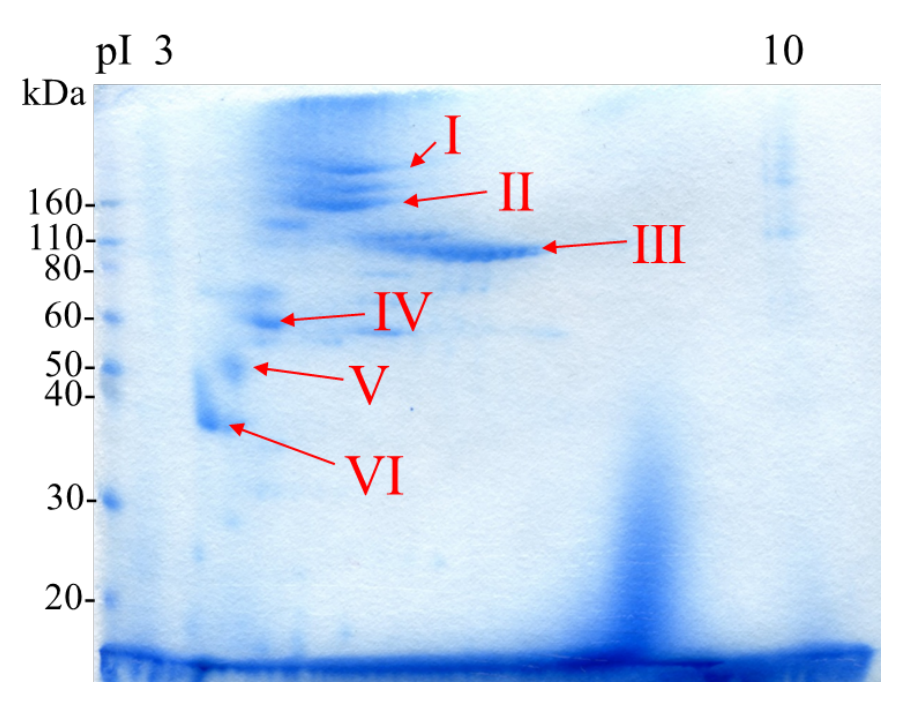
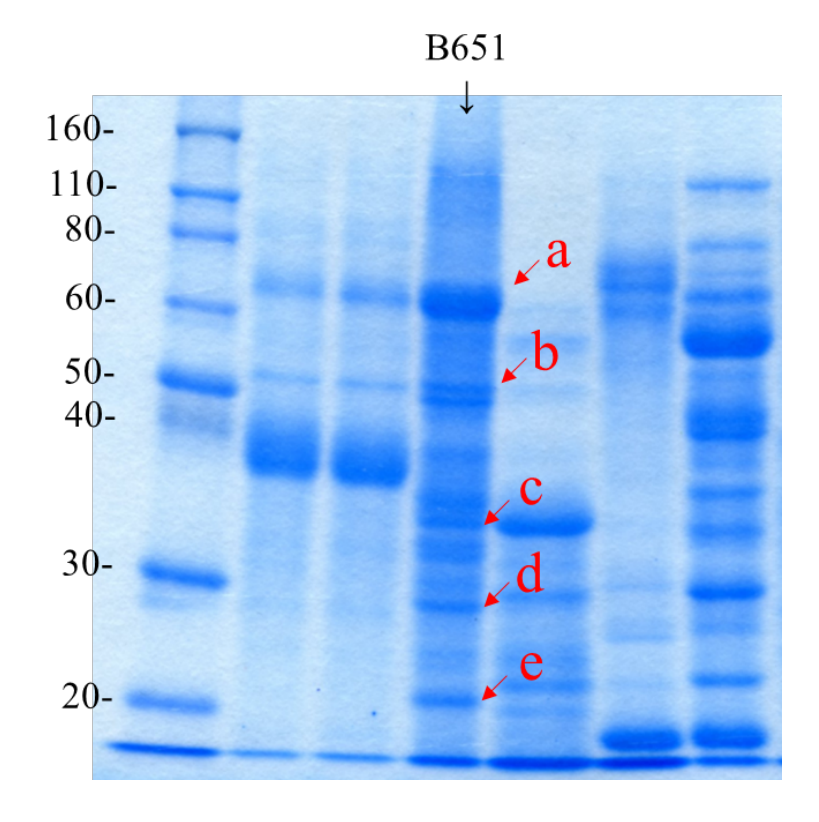


図 2. Niallia circulans 由来のβ-ガラクトシダーゼ(B572)の (A)SDS-PAGE 及び(B)二次元電気泳動像



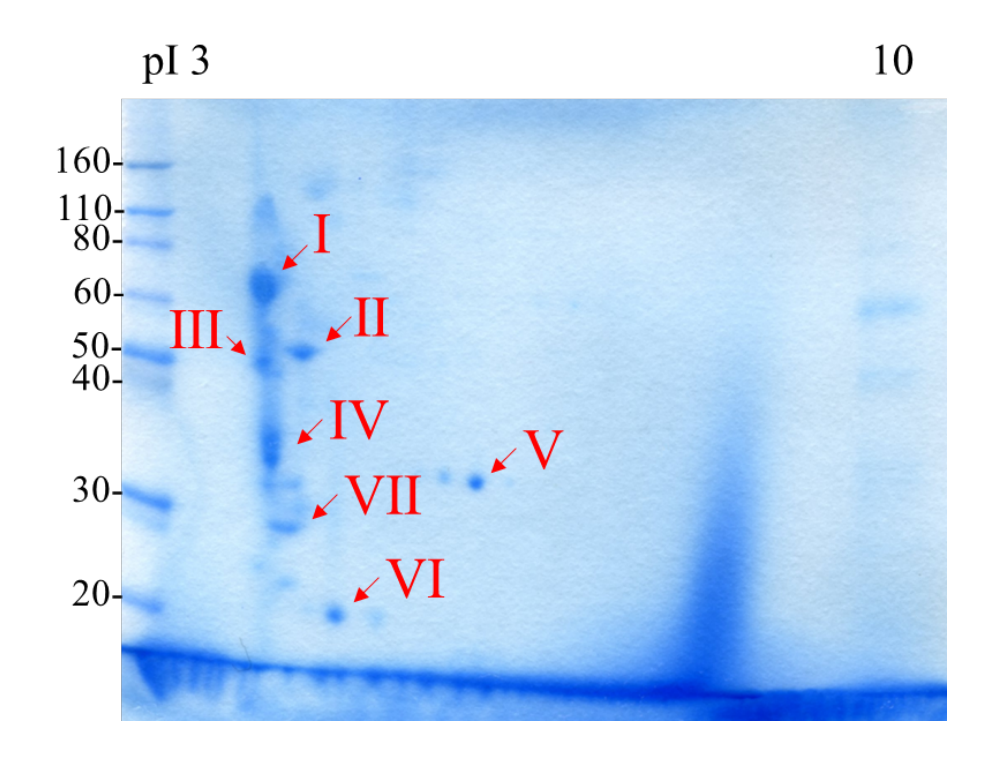
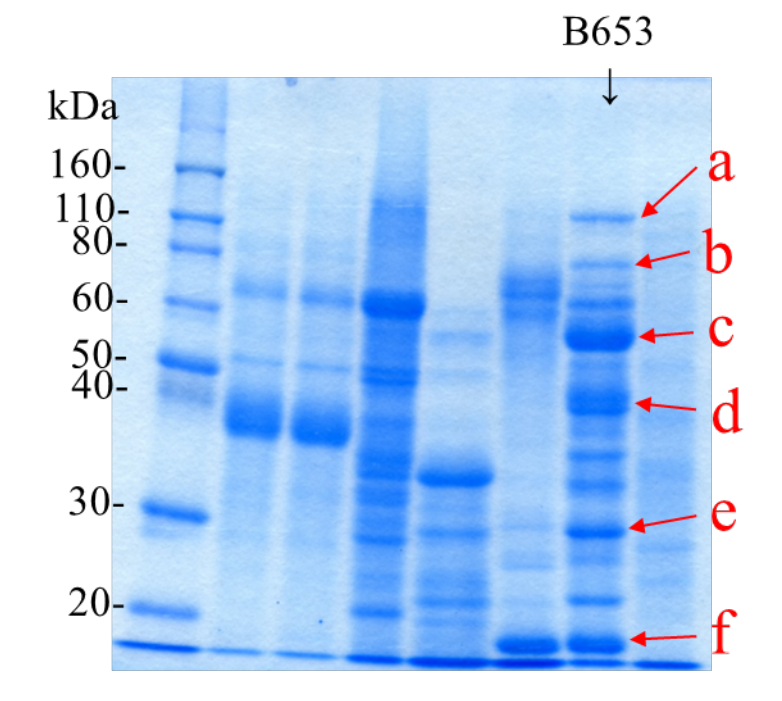


図 3. Aspergillus niger 由来のヘミセルラーゼ(B651)の (A)SDS-PAGE 及び(B)二次元電気泳動像



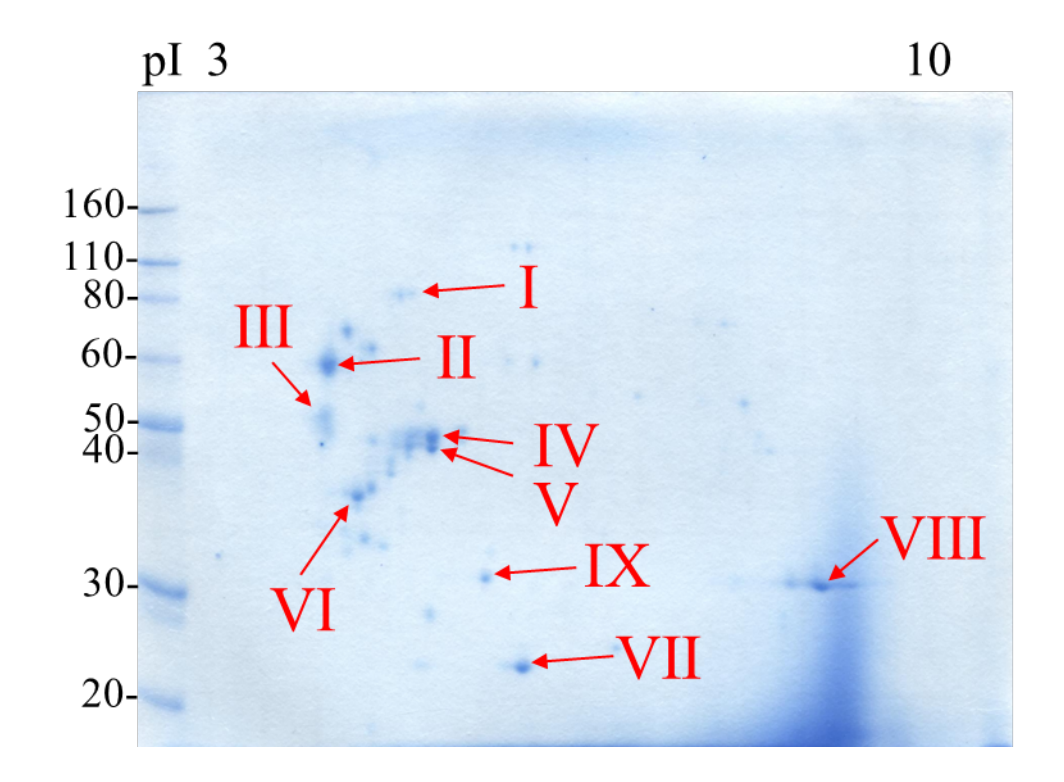


図 4. Trichoderma longibrachiatum 由来のへミセルラーゼ(B653)の (A)SDS-PAGE 及び(B)二次元電気泳動像

Trichodem a 属の節	L	ong ib rar	rch ia tur	1	Harzianum /Virens			S	
Species		1	2	3	4	5	6	7	8
T. reesei ●	1		0.021	0.027	0.005	0.071	0.071	0.072	0.068
T. long ibranch ia tum	2			0.03	0.021	0.074	0.075	0.075	0.072
T. citrinoviride	3				0.027	0.071	0.071	0.071	0.068
T. parareese i	4					0.071	0.071	0.072	0.068
T. horzianum 🌑	5						0.007	0.009	0.033
T. gu izhouense	6							0.009	0.034
T. afroharzianum	7								0.034
T. virens	8								

図 5. 添加物酵素の基原として使用される頻度高い Trichoderma spp.における 全ゲノムの遺伝子アミノ酸配列の異種間での配列一致率

表1. Triyticum aestivum由来のβ-アミラーゼ(B659)の同定結果

バンド	同定された タンパク質	種名	分子量	Coverage (%)	Calculated pI
a	β-amylase	Hordeum vulgare	59,895	32	5.58

スポット	同定された タンパク質	種名	分子量	Coverage (%)	Calculated pI
I	β-amylase	Hordeum vulgare	59,895	30	5.58
${ m II}$	β-amylase	Hordeum vulgare	59,895	26	5.58
Ш	β-amylase	Hordeum vulgare	59,895	35	5.58
IV	β-amylase	Hordeum vulgare	59,895	26	5.58

表 2. Niallia circulans 由来の $\beta$ -ガラクトシダーゼ(B572)の同定結果

バンド	同定された タンパク質	種名	分子量	Coverage (%)	Calculated pI
a	β-galactosidase	Niallia circulans	192,297	25	5.51
b	β-galactosidase	Niallia circulans	192,297	30	5.51
c	β-galactosidase	Niallia circulans	192,297	29	5.51

スポット	同定された タンパク質	種名	分子量	Coverage (%)	Calculated pI
I	β-gaiactosidase	Niallia circulans	192,297	19	5.51
П	β-gaiactosidase	Niallia circulans	192,297	13	5.51
Ш	β-gaiactosidase	Niallia circulans	192,297	15	5.51
IV	同定不可				
V	L-glutamate γ-semialdehyde dehydrogenase	Niallia circulans	57,445	14	5.35
VI	同定不可				

表3. Aspergillus niger由来のヘミセルラーゼ(B651)の同定結果

バンド	同定された タンパク質	種名	分子量	Coverage (%)	Calculated pI
a	同定不可				
b	同定不可				
c	同定不可				
d	Endoglucanase A	Aspergillus kawachii	25,911	24	4.63
	Glycoside hydrolase family 12 protein	Aspergillus luchuensis	25,911	24	4.63
	Endoglucanase A	Aspergillus eucalypticola	25,834	24	4.57
	Endoglucanase A	Aspergillus piperis	25,888	24	4.63
e	Endo-1,4-β-xylanase B	Aspergillus kawachii	24,225	27	5.74
	Endo-1,4-β-xylanase	Aspergillus luchuensis	24,225	27	5.74
	Endo-1,4-β-xylanase	Aspergillus piperis	24,225	27	5.74

スポット	同定された タンパク質	種名	分子量	Coverage (%)	Calculated pI
I	同定不可				
II	α-Amylase	Aspergillus niger	55,157	25	4.48
	α-Amylase	Aspergillus oryzae	55,152	25	4.52
	α-Amylase	Aspergillus sojae	55,141	25	4.54
	α-Amylase	Aspergillus kawachii	55,157	25	4.48
	α-Amylase	Aspergillus parasiticus	55,171	25	4.5
III	同定不可				
IV	同定不可				
V	β-Xylanase	Aspergillus tubingensis	34,197	34	5.89
	β-Xylanase	Aspergillus niger	34,240	34	6.08
	β-Xylanase	Aspergillus neoniger	34,197	34	5.89
	β-Xylanase	Aspergillus vadensis	34,207	34	5.66
	β-Xylanase	Aspergillus phoenicis	34,240	34	6.08
	β-Xylanase	Aspergillus awamori	34,240	34	6.08
VI	Endo-1,4-β-xylanase B	Aspergillus kawachii	24,225	26	5.74
	Endo-1,4-β-xylanase	Aspergillus luchuensis	24,225	26	5.74
	Endo-1,4-β-xylanase	Aspergillus piperis	24,225	26	5.74
VII	Endoglucanase A	Aspergillus kawachii	25,911	32	4.63
	Glycoside hydrolase family 12 protein	Aspergillus luchuensis	25,911	32	4.63

表4. Trichoderma longibrachiatum由来のへミセルラーゼ(B653)の同定結果

バンド	同定された タンパク質	種名	分子量	Coverage (%)	Calculated pI
a	Xylan 1,4-β-xylosidase	Trichoderma reesei	87,479	14	5.52
	Xylan 1,4-β-xylosidase	Trichoderma parareesei	87,477	14	5.52
	Xylan 1,4-β-xylosidase	Trichoderma longibrachiatum	87,590	14	5.54
	Xylan 1,4-β-xylosidase	Trichoderma orientale	87,610	14	5.49
b	同定不可				
c	Exoglucanase 1	Trichoderma reesei	55,407	17	4.65
	Glucanase	Trichoderma parareesei	55,445	17	4.6
d	同定不可				
e	Endo-1,4-β-xylanase 3	Trichoderma reesei	38,224	20	6.97
	β-Xylanase	Trichoderma parareesei	38,224	20	6.97
f	Endo-1,4-β-xylanase	Trichoderma longibrachiatum	20,931	45	8.15
	Endo-1,4-β-xylanase	Trichoderma reesei	21,512	44	9.01
	Endo-1,4-β-xylanase	Trichoderma parareesei	22,447	42	9.00
	Endo-1,4-β-xylanase	Trichoderma pseudokoningii	24,112	38	7.88
	Endo-1,4-β-xylanase	Trichoderma orientale	24,112	38	7.88

スポット	同定された タンパク質	種名	分子量	Coverage (%)	Calculated pI
I	Xyloglucanase	Trichoderma reesei	87,307	10	5.42
	Xyloglucanase	Trichoderma parareesei	87,322	10	5.42
П	Exoglucanase 1	Trichoderma reesei	55,407	21	4.65
	Exoglucanase 1	Trichoderma koningii	55,407	21	4.65
	Glucanase	Trichoderma parareesei	55,445	21	4.60
Ш	同定不可				
IV	同定不可				
V	同定不可				
VI	同定不可				
VII	同定不可				
VIII	Endo-1,4-β-xylanase 3	Trichoderma reesei	38,224	20	6.97
	β-xylanase	Trichoderma parareesei	38,224	20	6.97
IX	同定不可				